



ГЛАВНОЕ УПРАВЛЕНИЕ АВИАЦИОННОЙ ПРОМЫШЛЕННОСТИ

Труды Центрального аэро-гидродинамического института

~~N 316~~
~~150~~

Выпуск 138

~~179~~
~~178~~
~~XXIV~~
~~43~~

Н. Н. БУРАКОВ

ИСПЫТАНИЕ КЛЕЕНЫХ ОБРАЗЦОВ
ТИПОВЫХ ЛОНЖЕРОНОВ
ИЗ ДРЕВЕСИНЫ ЕЛИ С СУЧКАМИ



ОНТИ
ГОСУДАРСТВЕННОЕ
АВИАЦИОННОЕ И АВТОТРАКТОРНОЕ ИЗДАТЕЛЬСТВО
МОСКВА — 1932

НКТП СССР

ГЛАВНОЕ УПРАВЛЕНИЕ АВИАЦИОННОЙ ПРОМЫШЛЕННОСТИ

Труды Центрального аэро-гидродинамического института

Выпуск 138

~~W 316~~
~~W 150~~

Н. Н. БУРАКОВ

~~W 479~~
~~T~~

ИСПЫТАНИЕ КЛЕЕНЫХ ОБРАЗЦОВ
ТИПОВЫХ ЛОНЖЕРОНОВ
ИЗ ДРЕВЕСИНЫ ЕЛИ С СУЧКАМИ



ОНТИ НКТП
ГОСУДАРСТВЕННОЕ
АВИАЦИОННОЕ И АВТОТРАКТОРНОЕ ИЗДАТЕЛЬСТВО
МОСКВА 1932 ЛЕНИНГРАД

Данная работа освещает последовательность процесса экспериментальных работ в лабораторной обстановке по изысканию возможности применения древесины ели с сучками в деталях самолета.

Результаты экспериментальных данных над образцами типа лонжеронов позволили констатировать, что в склеенных лонжеронах из древесины ели двутаврового сечения сучки не могут быть допущены, а в коробчатом сечении, при горизонтальной склейке планок, сучки могут быть допущены во внутренних планках.

Редактор В. С. Шаховской.

Тех. редактор С. М. Ростошинский.
Сдано в набор 25/III 1932 г. Подписано к печати 3/IX 1932 г. Колич. печатных листов 2. Колич. п. з. в листе 96000
Изд. АА-30-5-4. Изд. № 110. Уполномоченный Главлага № 5-19772. Заказ № 973. Тир. 2 5000.

Первая типография Огиза РСФСР „Образцовая“. Москва, Валовая, 23.

Введение.

Для разрешения вопроса о возможности допущения в самолетостроении суковатой древесины ОИАМ и К ЦАГИ включил в свои программные работы исследование влияния сучков на механические свойства древесины сосны и ели в малых образцах сплошного сечения и в kleеных образцах типа лонжеронов.

Первая часть работы была закончена в 1928 году и опубликована в Трудах ЦАГИ¹.

Основные выводы первой части работы сводятся к следующему.

При исследовании влияния здоровых, сросшихся с древесиной ствола сучков на механические свойства сосновой и еловой древесины в образцах небольшого сплошного сечения (от 2×2 до 4×4 см), имеющего существенное значение в самолетостроении, обнаружены следующие положения:

1. При сжатии вдоль волокон влияние сучков наиболее часто встречающихся размеров выражается в понижении крепости в пределах от 20% до 40%.

2. При сжатии поперек волокон наблюдается повышение крепости.

3. При поперечном статическом изгибе граница влияния сучка в зависимости от диаметра и расположения его по длине образца намечается следующая:

	миллиметры					
при расстоянии от середины длины образца ($2 \times 2 \times 30$ см) не менее	0	20	40	60	80	100
не оказывают влияния сучки диаметром до	0	3	6	9	12	15

4. При поперечном динамическом изгибе в тангенциальном направлении, в случае расположения сучка на расстоянии менее 80 мм от середины длины образца ($2 \times 2 \times 30$ см), предельное понижение сопротивления доходит до 70% без зависимости от диаметра сучка и расположения по длине образца, если же расстояние равно или больше 80 мм, колебания в результатах испытания находятся в пределах колебаний сопротивления бессучковой древесины.

5. При продольном статическом изгибе, в случае расположения сучка на расстоянии менее 80 мм от середины длины образца ($2 \times 2 \times 50$ см), предельное понижение доходит до 70% без зависимости от диаметра сучка и расположения его по длине образца, если же расстояние больше 80 мм, результаты дают колебания как в большую, так и в меньшую сторону, что может быть отнесено за счет неоднородности материала.

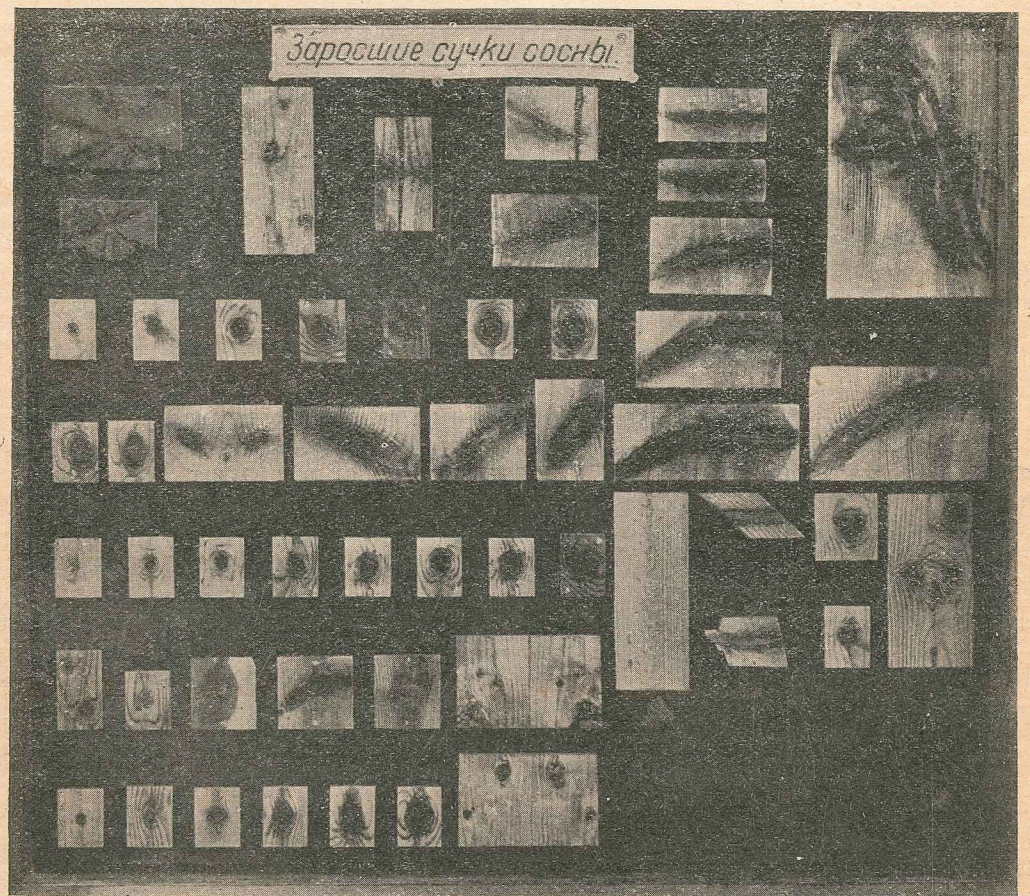
Помимо указанных основных выводов, необходимо отметить, что при изгибе на характер разрушения образца оказывает влияние не только самый сучок, как таковой, а главным образом те искривления направления волокон древесины ствола, которые появляются в результате наличия сучка.

Кроме того, применение на практике определенного опыта путем предела влияния сучка очень затруднительно, так как в этом случае в производство должны быть переданы точные указания, в каком месте по высоте, ширине и длине детали, какого диаметра и в какой детали могут быть допущены сучки.

¹ Н. Н. Бураков, Исследование влияния сучков на механические свойства древесины сосны и ели. Труды ЦАГИ, вып. 60.

В зависимости от полученных указаний в производстве должна быть подобрана соответствующая древесина. Вследствие вышеизложенного применение здоровых, сросшихся с древесиной стволов сучков в дегалах сплошного сечения, размерами от 2×2 до 4×4 см, не может быть рекомендовано.

Отрицательное заключение по исследованию влияния здоровых сросшихся с древесиной стволов сучков на механические свойства древесины сосны и ели заставило



Фиг. 1. Заросшие сучки сосны.

в целях выяснения возможности более полного использования суковатой древесины продолжить изучение влияния сучков, но уже в склеенных образцах, с допущением сучков как сросшихся, так и выпадающих, при замене последних пробками на kleю.

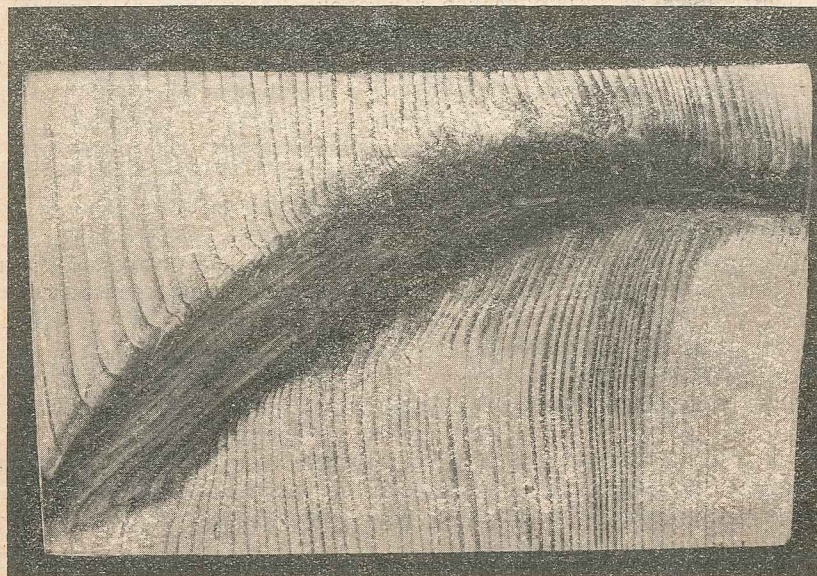
Однако первые опыты с сосной показали следующее:

1. Здоровые сросшиеся с древесиной сосны сучки (фиг. 1) расположены в пределах радиуса 30—50 мм, т. е. в небольшой средней части ствола, которая неизбежно должна быть отброшена в отход вследствие наличия сердцевины, слабой древесины, сердцевинных трещин и сосредоточения сучков.

2. Выпадающие сучки древесины сосны в большинстве случаев имеют не чистый излом, вследствие чего после излома сучка имеют место, в процессе зарастания¹, искривления направления волокон, глубоко проникающие в глубь ствола по длине радиуса с обильным выделением смолы (фиг. 2 и 3). Вследствие этого постановка пробок без нарушения целостности окружающей древесины не представляется возможной.

¹ Описание процесса зарастания сучков имеется у Н. Нестерова „Опилка сучьев как мера ухода в строевом лесу“. „Лесопромышленный вестник“, № 29, 1909 г. стр. 290.

Учитывая основные выводы первой части работы, касающиеся древесины сосны, пришлось отказаться от исследования влияния сучков на механические свойства склеенной древесины сосны и сосредоточить внимание лишь на исследовании кленой древесины ели с сучками.

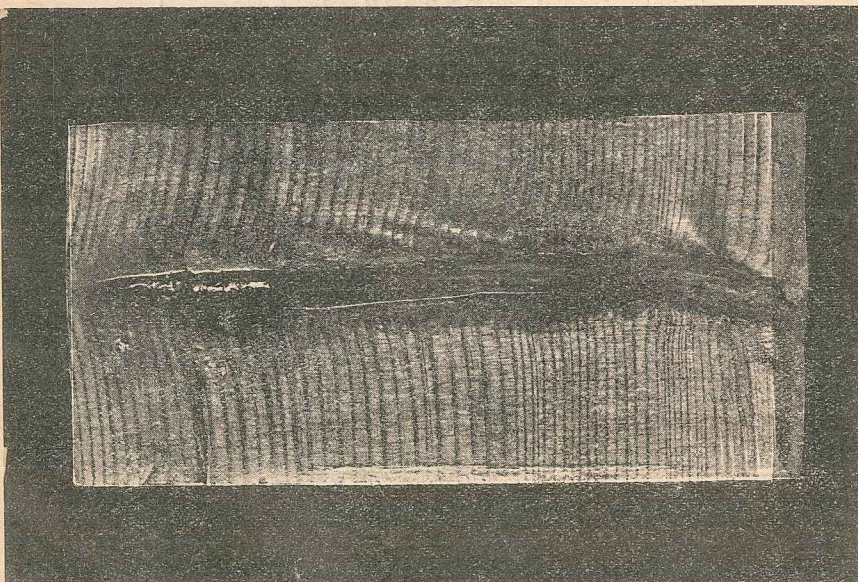


Фиг. 2. Выпадающий сучок древесины сосны.

Работа состояла из испытания склеенных образцов типа лонжеронов двутаврового и коробчатого сечения.

В нижеприведенном перечне испытаний приняты следующие обозначения:

b — ширина полки, h' — высота полки,
 h — высота сечения лонжерона, l — размер по длине лонжерона.



Фиг. 3. Выпадающий сучок древесины сосны.

Перечень испытаний.

1. Испытание склеенных образцов лонжеронов (двутаврового сечения) размеров: $b = 71 \text{ мм}$, $h = 96 \text{ мм}$ и $l = 150 \text{ мм}$ (планки с направлением годовых слоев под углом в 45°), на сжатие вдоль волокон, при различном расположении сучков по высоте образца.

2. Испытание склеенных образцов лонжеронов (двутаврового сечения) размеров: $b = 71 \text{ мм}$, $h = 96 \text{ мм}$ и $l = 2400 \text{ мм}$ (планки с направлением годовых слоев под углом в 45°), на поперечный статический изгиб сосредоточенной нагрузкой в двух точках (при расстоянии в 1000 мм) и при различном расположении сучков по высоте сечения образца.

3. Испытание склеенных образцов лонжеронов (двутаврового сечения) размеров: $b = 71 \text{ мм}$, $h = 96 \text{ мм}$ и $l = 2400 \text{ мм}$ (планки с направлением годовых слоев под углом в 45°), на продольный изгиб при различном расположении сучков по высоте сечения образца.

4. Испытания склеенных образцов (годовые слои под углом в 45° к плоскости склейки) типа лонжеронов (коробчатого сечения) следующих размеров: $b = 60 \text{ мм}$, $h' = 30 \text{ мм}$, $h = 120 \text{ мм}$ и $l = 150 \text{ мм}$, на сжатие вдоль волокон при различном расположении сучков, во внутренних планках по высоте образца.

5. Испытание склеенных образцов (годовые слои под углом в 45° к плоскости склейки) типа лонжеронов (коробчатого сечения) следующих размеров: $b = 60 \text{ мм}$, $h' = 30 \text{ мм}$, $h = 120 \text{ мм}$ и $l = 2000 \text{ мм}$, на поперечный статический изгиб сосредоточенной нагрузкой, в двух точках (при расстоянии в 600 мм) и при различном расположении сучков во внутренних планках по высоте полки.

6. Испытание склеенных образцов (годовые слои под углом в 45°) типа лонжеронов (коробчатого сечения) следующих размеров: $b = 60 \text{ мм}$, $h' = 30 \text{ мм}$, $h = 120 \text{ мм}$ и $l = 1500 \text{ мм}$, на продольный изгиб с различным расположением сучков во внутренних планках по высоте полки.

Вся работа выполнялась под непосредственным руководством начальника секции по изучению дерева Е. И. Савкова, которому выражают свою благодарность за проявленный интерес к работе и за советы и указания, дававшиеся им в процессе ее выполнения, а также сотрудникам отдела: К. К. Кноп за выполнение графической работы и участие в выполнении экспериментальной части работы и П. А. Соловьеву за тщательное изготовление лонжеронов и приспособлений к испытаниям.

I. Древесина.

A. Таксационные данные.

Древесина ели в количестве 30 6-метровых кряжей была получена из б. Владимирской губернии (Переяславский лесхоз, Вороновский Учлесхоз, дача Карчага) со следующей средне-лесотаксационной характеристикой (табл. 1, стр. 8)

Внешний вид материала представлен на фиг. 4 в виде торцов и плоскостей распила 3 кряжей.

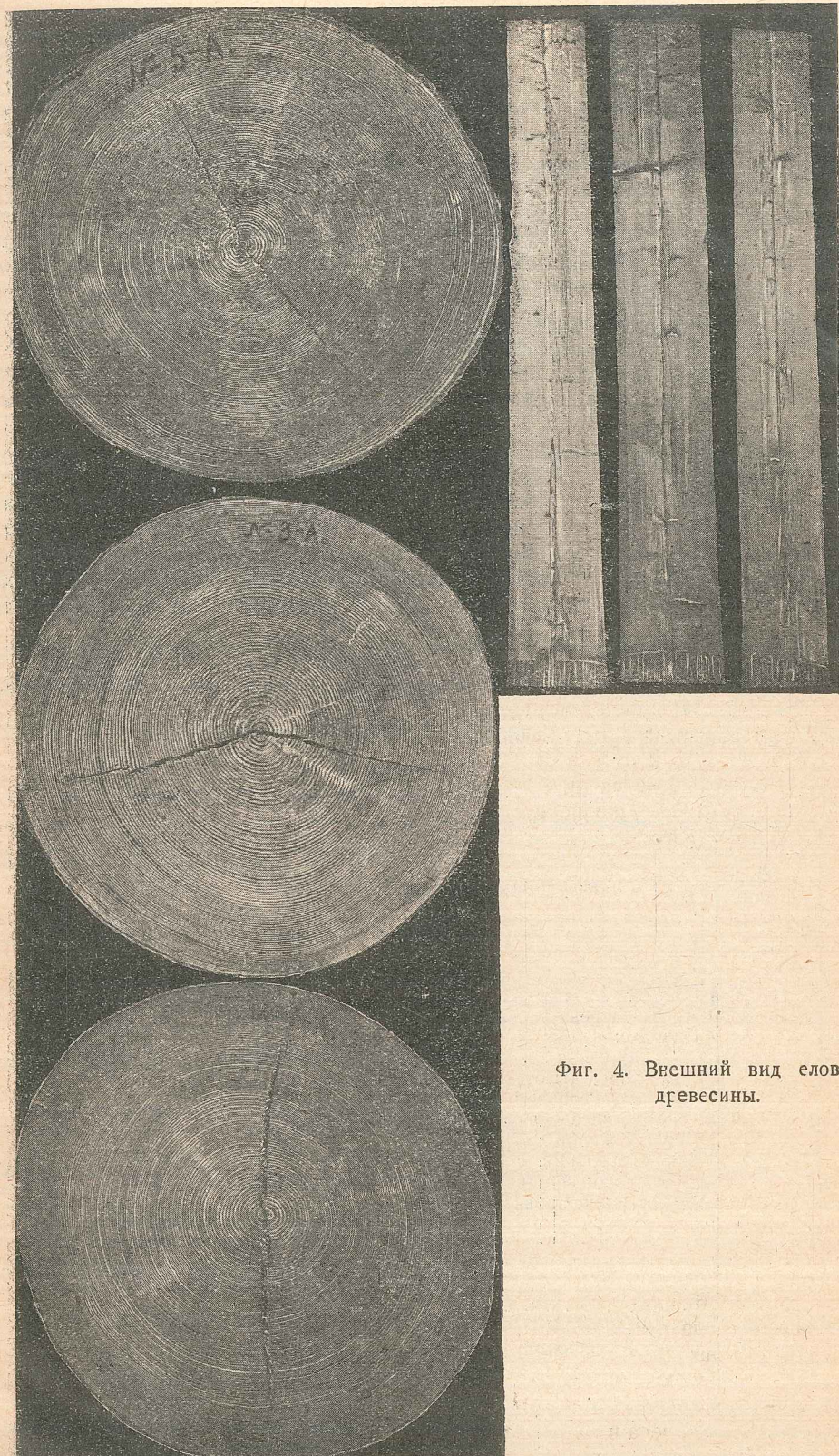
B. Распиловка кряжей.

Предназначенные для изготовления лонжеронов 30 кряжей были распилены поперечным резом по середине длины кряжа на 60 3-метровых кряжей.

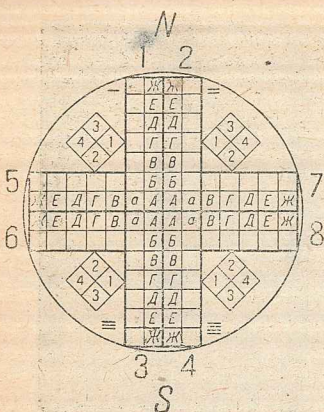
Первые от комля кряжи нумеровались нечетными, а вторые четными номерами.

Первые 6 кряжей были распилены по схеме полных испытаний (фиг. 5) и оставлены для определения физико-механических свойств, остальные 54 кряжа были распилены по схеме фиг. 6 на доски толщиною в 90 мм . Средний рез проходил по большому диаметру кряжа через сердцевину.

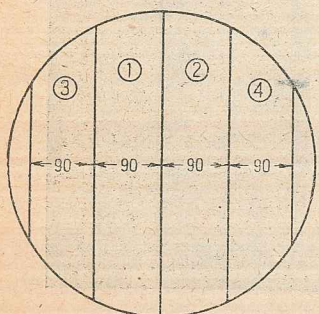
После распиловки кряжей доски были подвергнуты сушке, причем половина досок была высушена на открытом воздухе в течение мая — июля, а другая половина была высушена в камере.



Фиг. 4. Внешний вид еловой древесины.



Фиг. 5. Схема распиловки кряжа (верхний отруб).



Фиг. 6. Схема распиловки кряжа.

В. Физико-механические свойства древесины ели.

Из 6 кряжей, распиленных по схеме фиг. 5, было испытано 3 кряжа с нечетной нумерацией (кряжи 1, 3 и 5) по схеме полных испытаний¹.

Для определения физико-механических свойств древесины в остальных 54 кряжах брались отрезки от доски за № 1 или № 2 (схема фиг. 6) у нечетных кряжей в верхней и четных в нижней части кряжа, так что образцы как бы изготавливались из середины 6-метрового кряжа; вследствие этого из полученных от распиловки 54 3-метровых кряжей испытания были произведены в 26 кряжах, соответствующих 52 3-метровым кряжам; один кряж из-за недостаточной длины не представлялся возможным подвергнуть контрольным испытаниям физико-механических свойств древесины.

Ввиду отсутствия указания на кряжах на расположение стран света не представилось возможным выписывать их по схеме, выработанной ЦАГИ, вследствие чего образцы изготавливались по линии радиуса ствола, причем по наибольшему радиусу образцы обозначались прописными буквами, а по наименьшему радиусу строчными.

Из механических свойств определялись (как основные характеристики) коэффициенты крепости на сжатие вдоль волокон, из физических свойств — удельный вес.

Таблица 1

№ по пор.	Таксационные данные	Данные	
		колебания	среднее арифметическое
1	Возраст	139—170 лет	150 лет
2	Высота дерева	21—32 м	23 м
3	Диаметр:		
	а) у пня	27—66 см	40 см
	б) на высоте груди (1,3 м)	25—52 см	33 см
	в) в верхнем отрезке 6-метрового кряжа	23—43 см	32 см
4	Первый живой сук	12—19 м	17 м
5	Тип насаждений с краткой характеристикой состава насаждений, полноты и покрова	сурамень, состав 0,4 С, 0,6 Е, местами 0,9 Е	полнота 0,5—0,9, покров тонкий моховой с серничником и местами папоротником
6	Бонитет	1	
7	Добротность	2	
8	Почва и подпочва	свежая супесь с тонким слоем перегноя по почве — глина	

¹ Е. И. Савков, Исследование физико-механических свойств древесины сосны. Труды ЦАГИ, вып. 62.

Для определения физико-механических свойств применялась методика испытаний, принятая в ЦАГИ¹.

Определить зависимость между крепостью и влажностью древесины ели за недостатком времени не удалось, в силу чего пересчет коэффициента крепости в зависимости от влажности производился по общим французским данным, согласно которым изменение на 1% влажности древесины соответствует изменению крепости на 4% при сжатии вдоль волокон и на 2% при поперечном статическом изгибе.

Физико-механические свойства древесины ели приведены в табл. 2.

Таблица 2

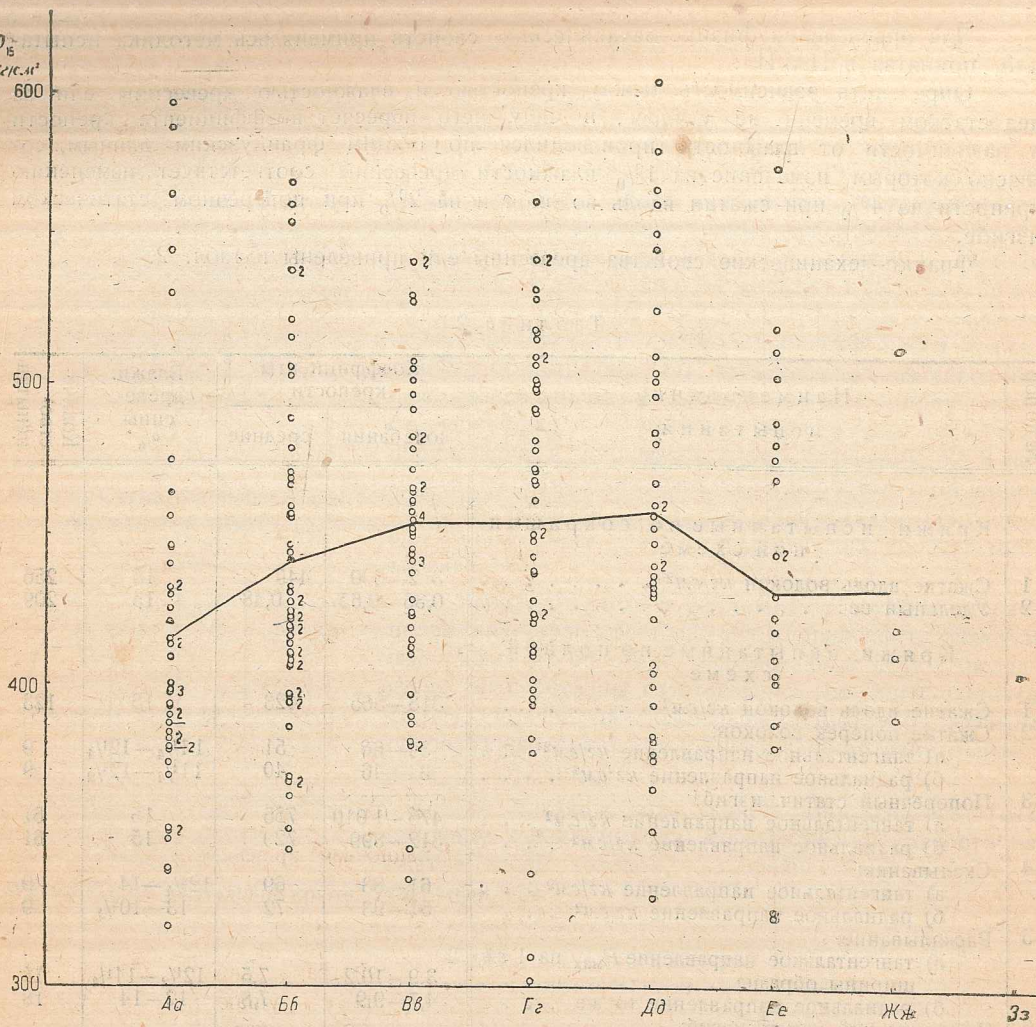
№ по пор	Наименование испытания	Коэффициенты крепости		Влажн. древесины %	Количества испытаний
		колебания	средние		
Кряжи, испытанные по сокращенной схеме					
1	Сжатие вдоль волокон kg/cm^2	32—60	445	15	256
2	Удельный вес	0,36—0,65	0,48	15	209
Кряжи, испытанные по полной схеме					
1	Сжатие вдоль волокон kg/cm^2	318—565	423	15	123
2	Сжатие поперек волокон:				
	а) тангенциальное направление kg/cm^2 . . .	34—66	51	$1\frac{1}{4}$ — $12\frac{1}{4}$	9
	б) радиальное направление kg/cm^2	34—46	40	$1\frac{1}{4}$ — $12\frac{1}{2}$	9
3	Поперечный статич. изгиб:				
	а) тангенциальное направление kg/cm^2	475—1010	755	15	61
	б) радиальное направление kg/cm^2	512—899	720	15	61
4	Скалывание:				
	а) тангенциальное направление kg/cm^2	61—83	69	$12\frac{3}{4}$ —14	9
	б) радиальное направление kg/cm^2	51—93	72	13 — $10\frac{3}{4}$	9
5	Раскалывание:				
	а) тангенциальное направление P_{\max} на 1 см ширины образца	3,9—10,2	7,5	$12\frac{1}{2}$ — $14\frac{1}{4}$	18
	б) радиальное направление то же	4,7—9,9	7,8	12—14	18
6	Динамический попер. изгиб:				
	а) тангенциальное направление	0,086—0,272	0,163	—	61
	б) радиальное направление	0,074—0,625	0,301	—	58
7	Скрывание kg/cm^2	100—156	124	12— $12\frac{1}{2}$	25
Удерживание гвоздей и шурупов:					
	а) тангенциальное направление				
	гвозди железные № 18— $3\frac{1}{4}$ " кг	3,8—16,0	8,8		27
	гвозди оцинков. № 18— $3\frac{1}{4}$ " кг	7,0—34,0	20,1		27
	шурупы № 3— $5\frac{1}{8}$ " кг	18,0—69,0	51,0	$9\frac{1}{4}$ — $10\frac{3}{4}$	27
	шурупы № 6— $1\frac{1}{2}$ " кг	127,0—224,0	170,0		27
	б) радиальное направление:				
	гвоздь железн. № 18 $3\frac{1}{4}$ " кг	3,9—14,2	7,5		27
	гвоздь оцинков. № 18 $3\frac{1}{4}$ " кг	9,0—38,0	19,1		27
	шурупы № 3— $5\frac{1}{8}$ " кг	25,0—76,0	47,0	$9\frac{1}{4}$ — $10\frac{3}{4}$	27
	шурупы № 6— $1\frac{1}{2}$ " кг	126,0—25,0	158,0		27
9	Удельный вес	0,37—0,61	0,46	15	59
10	Смолистость	0,79—1,76	1,26	—	59
11	Коэффициент усушки	0,45—0,70	0,58	—	59

На основании полученных результатов испытаний были построены:

1. Диаграммы изменений коэффициента крепости D_1 по радиусу ствола (фиг. 7).
2. Вариационная кривая для удельного веса (фиг. 8).

¹ Е. И. Савков, Методы определения физико-механических свойств древесины. Труды ЦАГИ, вып. 37.

² Испытание kleевых поножеронов.



Фиг. 7. Диаграмма изменений D_{45} по радиусу ствола

Имея в виду, что для диаграммы фиг. 7 коэффициент пересчета был взят условный и что для вариационной кривой фиг. 8 было недостаточное количество точек, окончательных выводов сделать нельзя и указанными кривыми необходимо пользоваться как приближенными.

II. Клей

В качестве склеивающего вещества был применен порошкообразный казеиновый клей марки ЦАГИ № 104.

Для данной работы консистенция клея была взята следующая: по весу на 1 ч. клея 1,8 ч. воды, при которой по работам ЦАГИ¹ наблюдается хорошее качество склейки с незначительными колебаниями в результатах испытаний.

Метод склеивания был применен следующий

- | | |
|---|------------------------|
| 1) намазка kleem поверхностей | двухсторонняя, |
| 2) расход kleя | 1 кг/м ² , |
| 3) время выдержки намазанных поверхностей до запрессовки. | 12—15 мин , |
| 4) нагружение при запрессовке | 1 кг/см ² , |
| 5) время запрессовки | 18 час., |
| 6) выдержка склеенных образцов после запрессовки не менее | 72 часа. |

¹ Н. Ф. Бочаров, Техника склеивания дерева казеиновыми kleями. Труды ЦАГИ, вып. 77.

10

III. Изготовление лонжеронов.

После сушки доски были распилены на планки толщиною 15 *мм* и длиною 3 000 *мм* с расположением годовых слоев к плоскости распила под углом в 45° (фиг. 9).

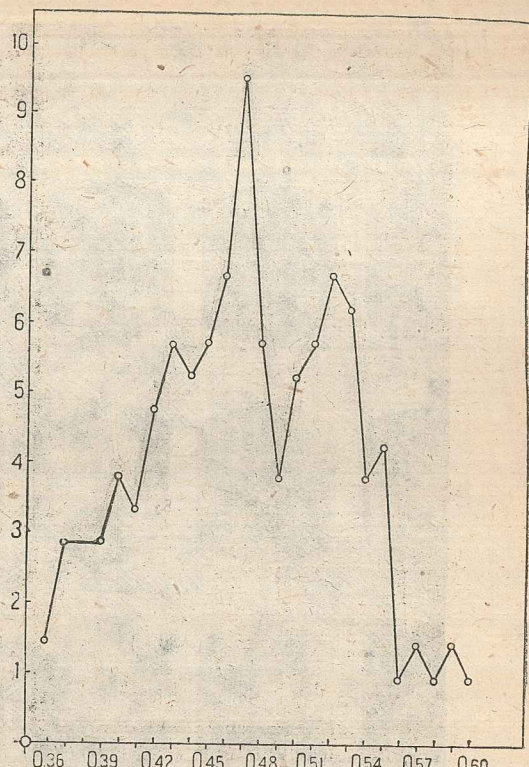
Вид наиболее часто встречающихся сучковели представлен на фиг. 10.

После распила на круглой пиле планки выдерживались в помещении в течение 2—3 месяцев, после чего пропускались через строгальный и рейсмусовочный станки. Из полученных планок изготавливались kleеные лонжероны, с расположением годовых слоев к плоскости склейки под углом в 45° (фиг. 9).

Запрессовка склеенных лонжеронов производилась на прессе с тарированными пружинами (фиг. 11).

Влажность древесины лонжеронов колебалась от 10 до 11%. Для стенок лонжеронов коробчатого сечения применялась фанера сорта А. Направление волокон рубашки фанеры было взято под углом в 45° . Для крепления фанеры к полкам лонжерона гвозди и шурупы не применялись.

Точность изготовления образцов
 $\pm 0,1$ м.м.



Фиг. 8. Вариационная кривая для удельного веса G_{45} .

IV. Механические испытания

Для определения влияния сучков на механические свойства kleеных лонжеронов воспользовались методом определения процента понижения разрушающей нагрузки лонжерона с сучками по сравнению с разрушающей нагрузкой лонжерона без сучков.

Процент понижения разрушающей нагрузки определяется по формуле:

$$\frac{P'_{\max} - P_{\max}}{P_{\max}} \cdot 100,$$

где P_{\max} — разрушающая нагрузка лонжерона без сучка,
 P'_{\max} — " " " " " с сучком

Таким образом каждое испытание проводилось на двух лонжеронах: на одном с сучками, на другом без сучков.

Такие парные лонжероны изготавливались из одних и тех же годовых слоев древесины. Механическим испытаниям были подвергнуты два типа лонжеронов: двутаврового и коробчатого сечений.

Имея в виду большие размеры лонжеронов, трудности изготовления их в лабораторных условиях, а также высокую стоимость изготовления, мы подвергали образцы по типу лонжеронов только основным видам машиностроительных испытаний.

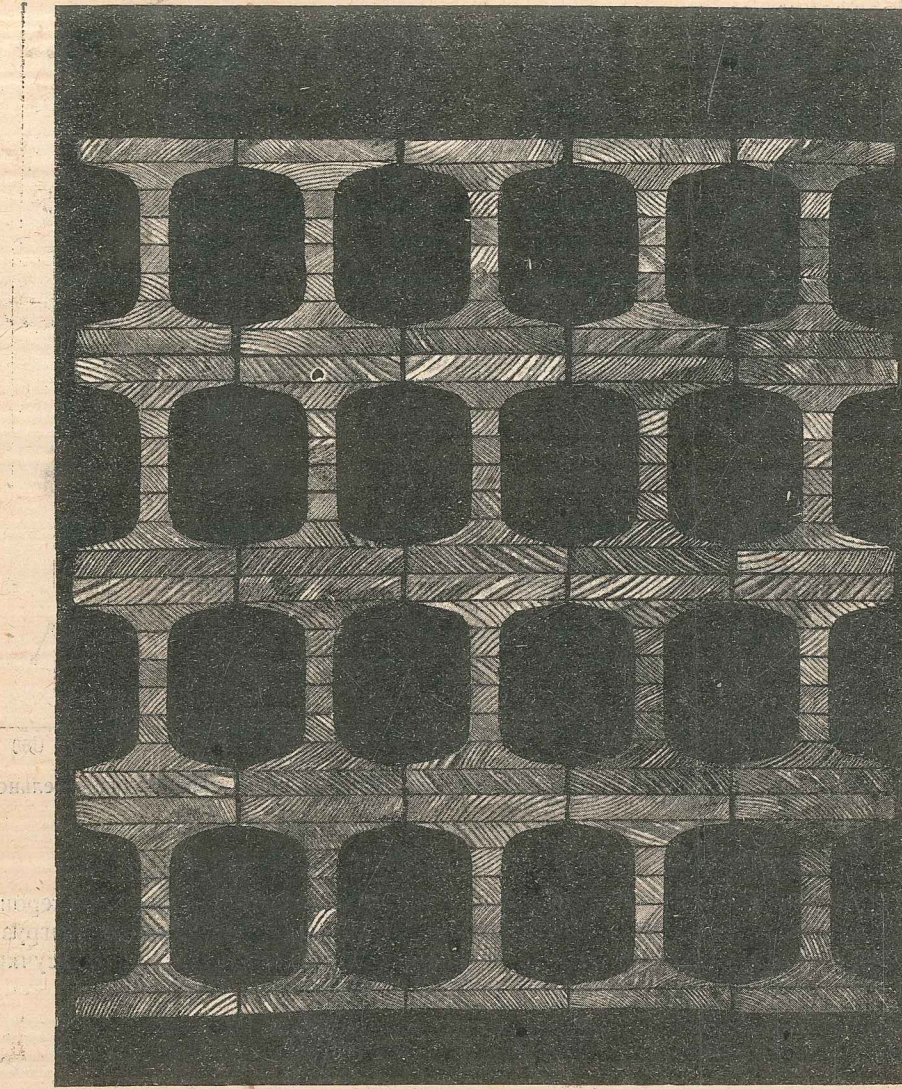
- сжатие вдоль волокон,
 - поперечный статический изгиб,
 - продольный статический изгиб

V. Результаты механических испытаний kleеных лонжеронов

А. Двутавровое сечение

1. Сжатие вдоль волокон.

Для сжатия вдоль волокон образец длиною 150 *мм* вырезался из лонжерона, изготовленного согласно чертежу фиг. 12, в части, не имеющей диафрагм.



Фиг. 9. Наклон годовых слоев к плоскости склейки.

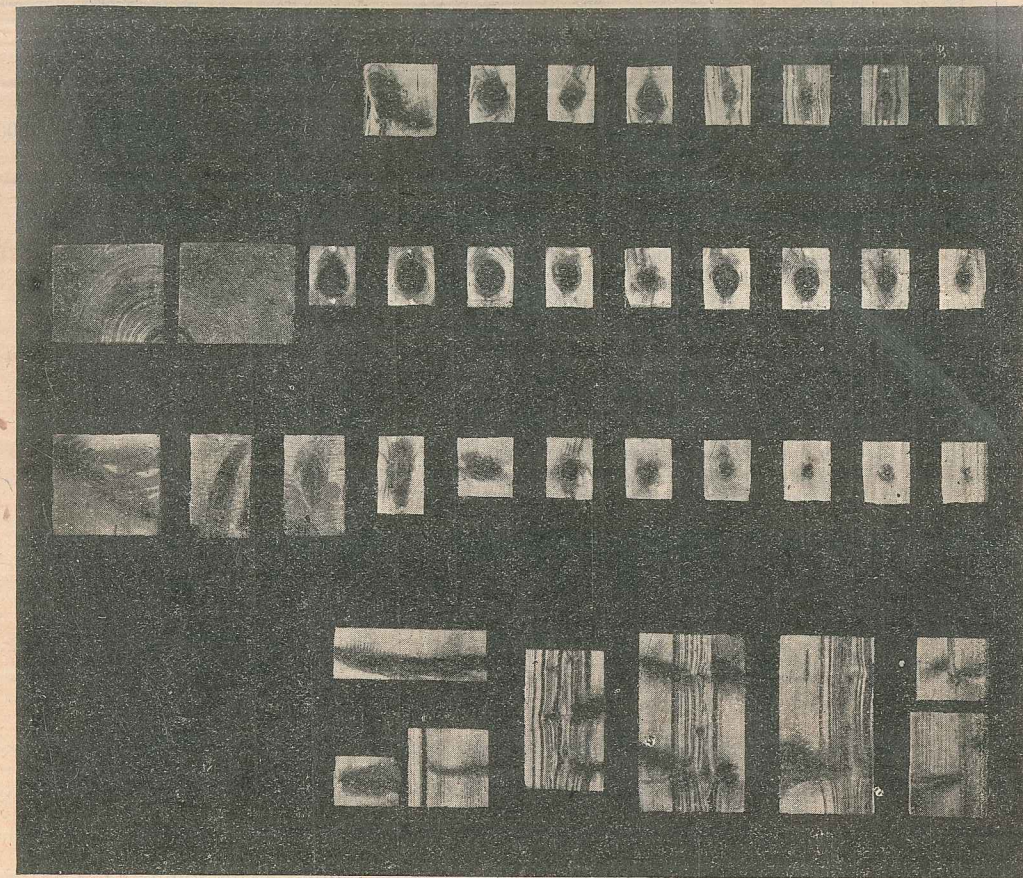
Испытание производилось на 200-тонном прессе завода Амслер со шкалою 20 т. Скорость нагружения 400 кг/см² в минуту.

В первоначально изготовленных образцах высыревливались только выпадающие сучки, и вставлялись вместо них пробки из древесины ели на казеиновом клее.

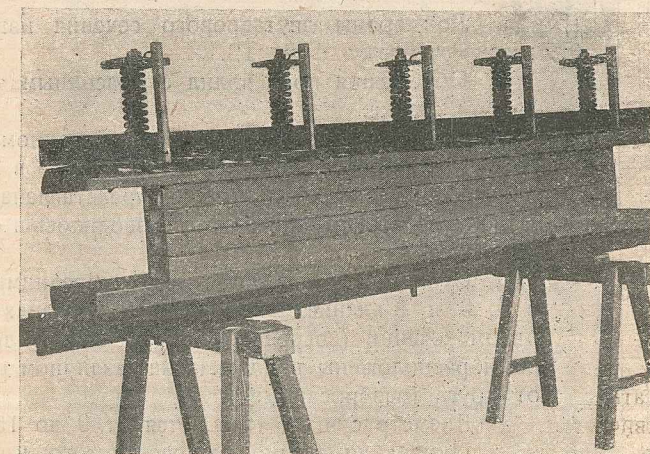
Сучки диаметром до 15 мм допускались в 2, 4, 5, 6 и 8 планках, причем сучки располагались как в одном сечении (сосредоточенные), так и в разных (разбросанные).

Результаты испытаний показали, что пробки из древесины ели деформируются под воздействием нагрузки (фиг. 13). Это обстоятельство заставило применять для пробок древесину твердых пород, поэтому в последующих образцах пробки изготавливались из древесины белого бука и клена. Испытания показали, что пробки из древесины белого бука и клена не деформируются (фиг 14) и не оказывают разрушение образцов.

Наблюдения над здоровыми сросшимися сучками показали, что сучки без радиальных трещин встречаются довольно редко, вследствие чего в последних образцах высыревливались все сучки, как сросшиеся, так и выпадающие.

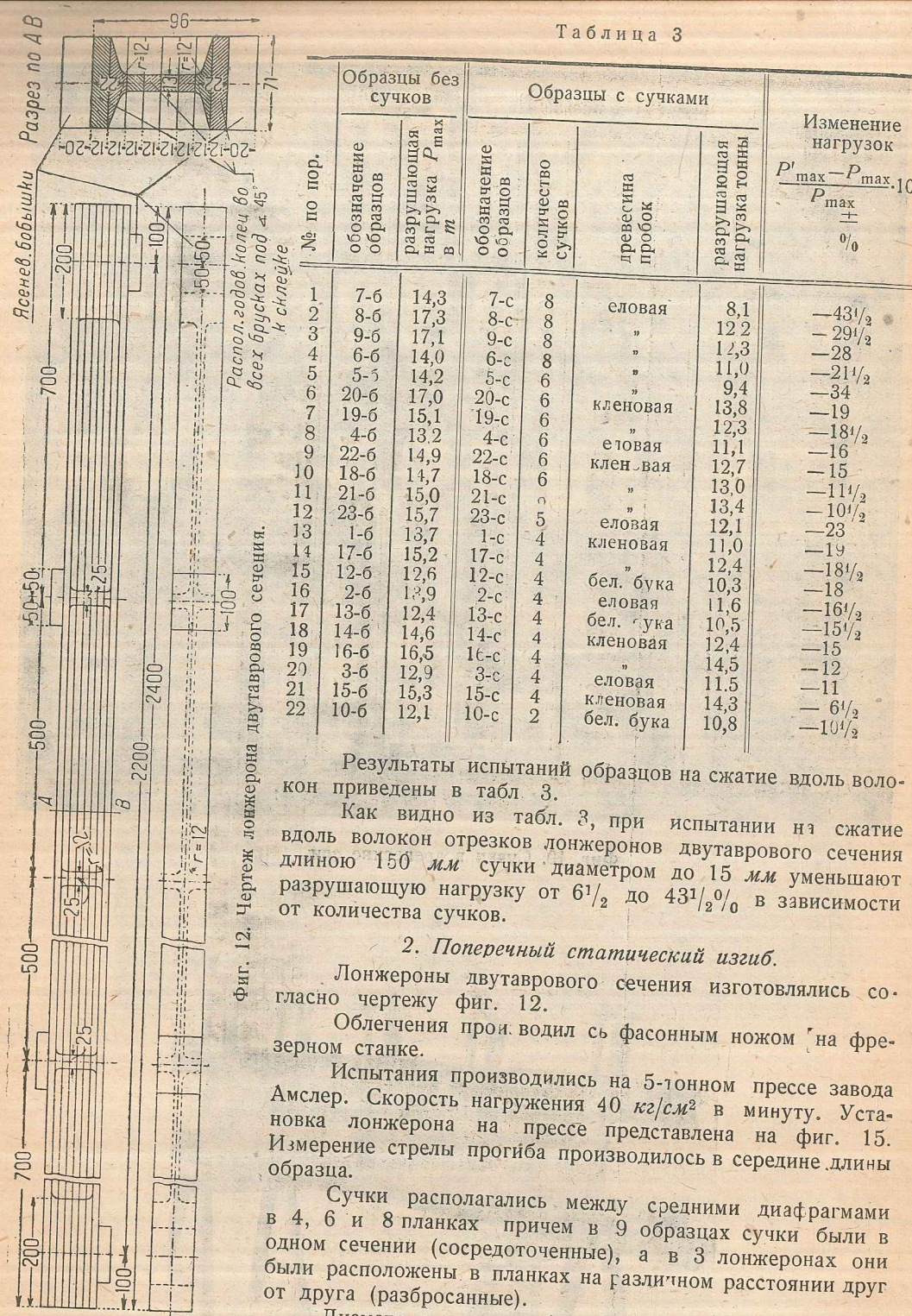


Фиг. 10. Сучки в древесине ели.



Фиг. 11. Станок для запрессовки склеенных лонжеронов.

Таблица



Фиг. 12. Чертеж лонжерона двутаврового сечения.

Результаты испытаний образцов на сжатие вдоль волокон приведены в табл. 3.

Как видно из табл. 3, при испытании на сжатие вдоль волокон отрезков лонжеронов двутаврового сечения длиною 150 мм сучки диаметром до 15 мм уменьшают разрушающую нагрузку от $6\frac{1}{2}$ до $43\frac{1}{2}\%$ в зависимости от количества сучков.

2. Поперечный статический изгиб

Лонжероны двутаврового сечения изготавливались согласно чертежу фиг. 12.

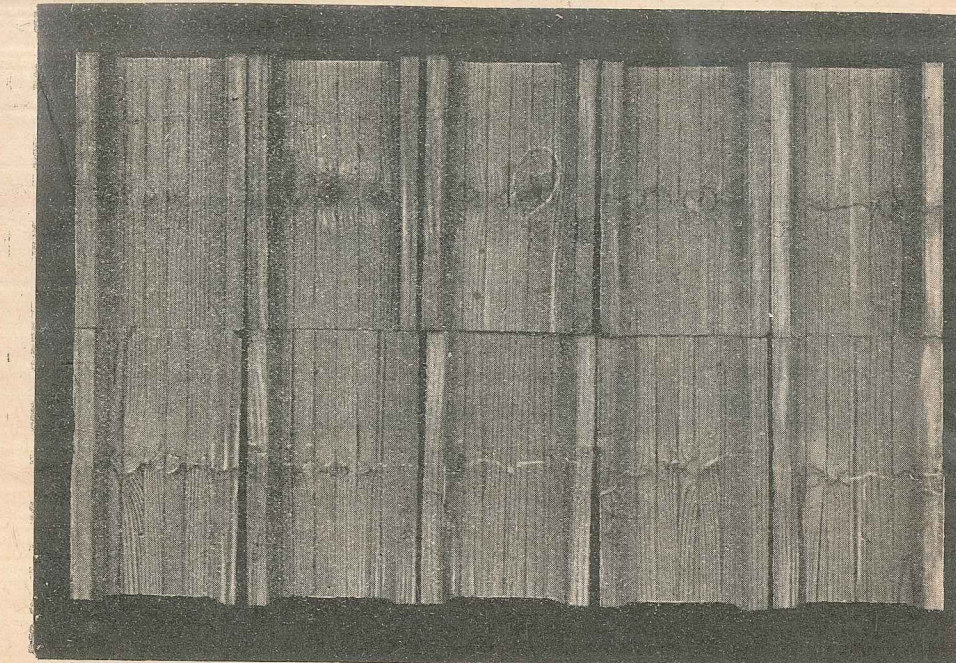
Облегчения прои. водил съ фасонным ножом на фрезерном станке.

Испытания производились на 5-тонном прессе завод Амслер. Скорость нагружения $40 \text{ кг}/\text{см}^2$ в минуту. Установка лонжерона на прессе представлена на фиг. 15. Измерение стрелы прогиба производилось в середине длины образца.

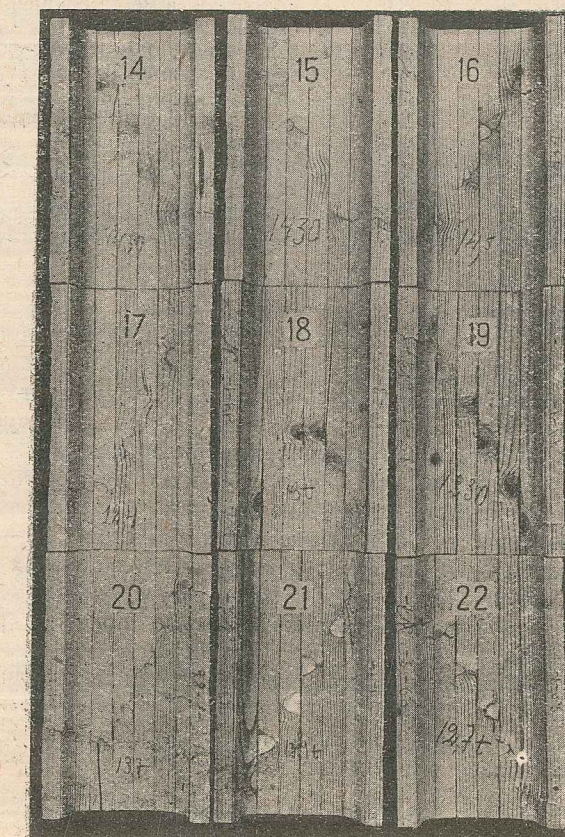
Сучки располагались между средними диафрагмами в 4, 6 и 8 планках причем в 9 образцах сучки были в одном сечении (сосредоточенные), а в 3 лонжеронах они были расположены в планках на различном расстоянии друг от друга (разбросанные).

Диаметр сучков колеблется от 9 до 15 мм.

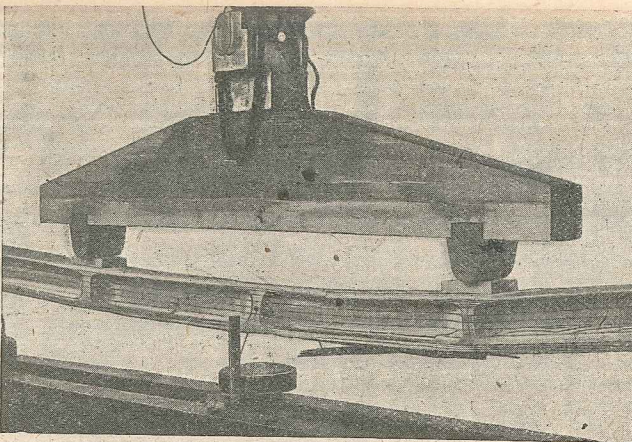
Нумерация планок от растянутого к скатому слоем (№ 1—8). В образцах зд № 23, 29 и 31 помимо сучков, расположенныхных в опасном сечении, имелись сучки в 1-й плачке, находящейся за пределами опасного сечения.



Фиг. 13. Разрушение при сжатии образцов с пробками из древесины ели



Фиг. 14. Разрушение при сжатии образцов с пробками из древесины твердых пород.



Фиг. 15. Измерение стрелы прогиба при статическом изгибе.

Таблица 4
Лонжероны без сучков

№ по пор.	Обозначение лонжеронов	Разрушающая нагрузка P_{max} в кг	Характер разрушения
23'	1-6-8	1 400	скалывание
24	2-6-8	1 380	под ножом в месте искривления волокон
25'	12-6-6	1 370	скалывание
26'	1 -6-6	1 370	скалывание, разрушение под ножом
27'	16-6-6	1 250	разрушение под ножом
28'	17-6-5	1 600	то же
29	3-5-4	1 250	разрушение около средней диафрагмы
30	4-6-4	1 430	скалывание
31	5-6-4	1 340	то же
32	13-6-4	1 110	то же
33	14-6-4	1 180	разрушение под ножом
34	11-6-4	850	разрушение 1-й планки

Результаты испытаний приведены в табл. 4 и 4а.

Вид лонжеронов с сучками после испытания представлен на фиг. 16 и без сучков на фиг. 17.

Обозначение на фиг. 16 1-с, 2-с и т. д. соответствует № 23, 24 и т. д.

Обозначение на фиг. 17 1-б, 2-б и т. д. соответствует № 23', 24' и т. д. (см. графу табл. 4а „Обозначения лонжеронов“).

На основании результатов испытаний образцов лонжеронов на статический поперечный изгиб можно сделать следующие выводы:

1. Наличие в 1-й (расположенной) планке сучка диаметром 15—20 мм оказывает большее влияние, нежели сучки в нескольких внутренних планках опасного сечения (лонжероны №№ 23, 29 и 31).

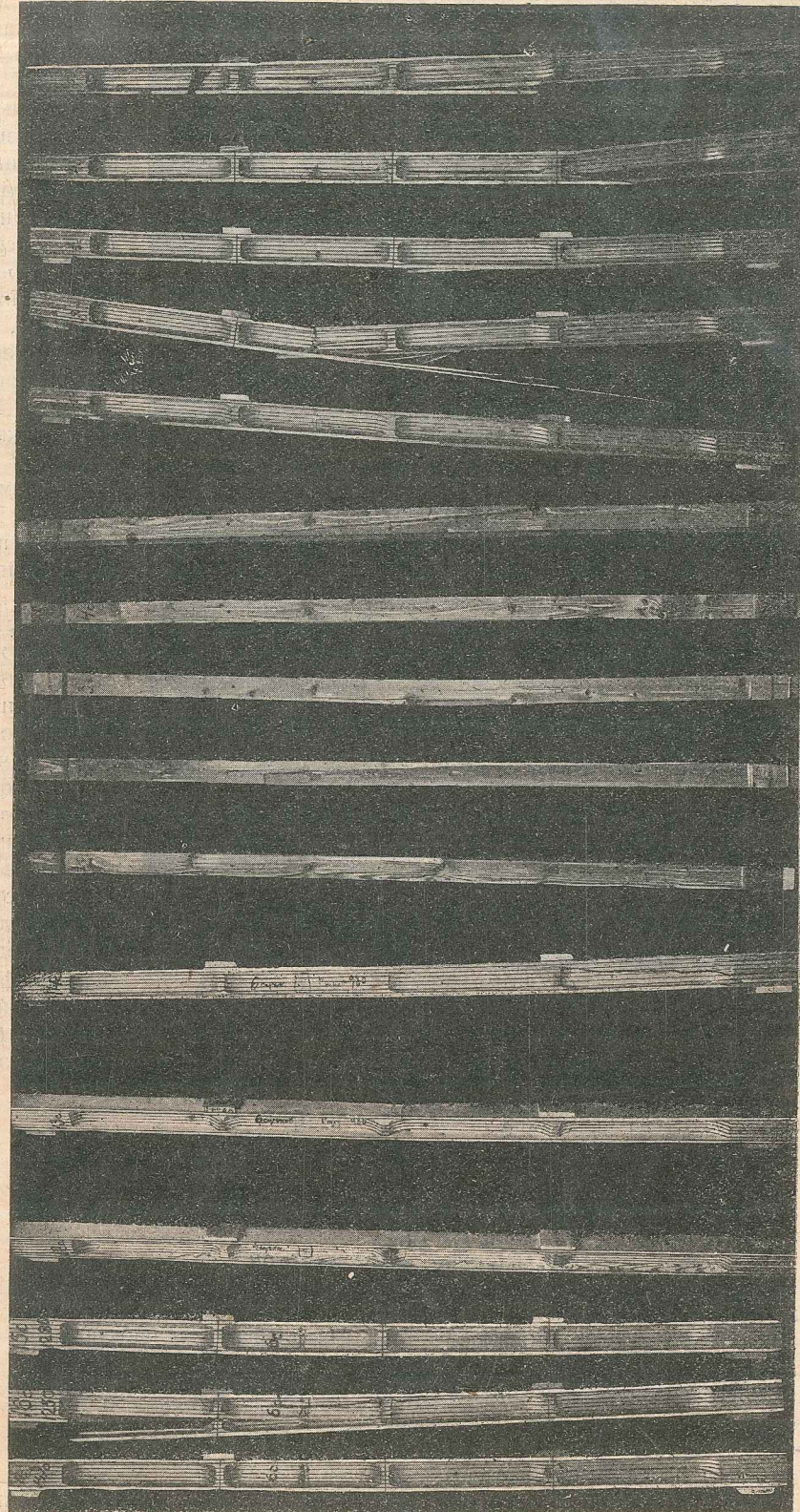
2. Наличие сучка в планке № 8 также заметно понижает разрушающую нагрузку (лонжерон № 24).

3. Лонжероны с сучками во внутренних планках показали тоже некоторое уменьшение нагрузки.

Таким образом испытание показало, что наличие сучков в лонжеронах двутаврового сечения уменьшает разрушающую нагрузку.

3. Продольный изгиб.

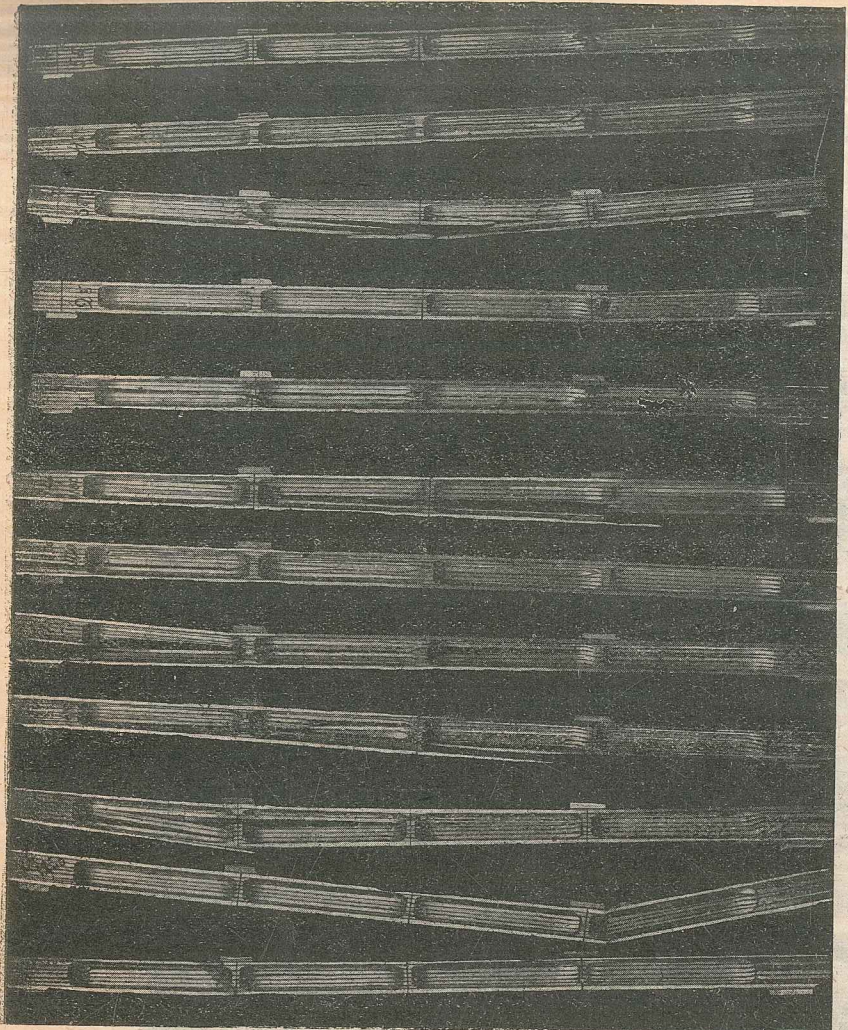
Имея в виду, что результаты испытания лонжеронов с сучками на поперечный статический изгиб, а также на сжатие вдоль волокон, показали уменьшение разру-



Фиг. 16. Вид лонжеронов с сучками после испытания.

Таблица 4а
Лонжероны с сучками

№ по пор.	Обозначение лонже-ровов	Место расположения сучка в планках и его диаметр в мм	Разрушающая нагрузка P_{\max} кг	Изменение нагрузки		Характер разрушения							
				1	2	3	4	5	6	7	8	$P'_{\max} - P_{\max}$	$\frac{P'_{\max} - P_{\max}}{P_{\max}} \cdot 100$
а) Сучки сосредоточенные													
23	1-с-8	7 15 15 9 10 11 12 10	1 200									$-14\frac{1}{2}$	
24	2-с-8	10 12 12 10 13 10 10 11	1 160									-16	
25	12-с-6	— 10 11 13 14 15 15 —	1 280									$-6\frac{1}{2}$	
26	15-с-6	— 11 10 11 13 12 10 —	1 280									$-6\frac{1}{2}$	
27	16-с-6	— 12 9 11 15 12 12 —	1 250									± 0	
28	17-с-6	— 12 13 14 18 11 10 —	1 410									-12	
29	9-с-4	11 10 12 10 — — — —	1 330									$+9$	
30	4-с-4	14 10 — — — — — —	1 310									$-8\frac{1}{2}$	
31	5-с-4	10 10 10 10 — — — —	1 310									-2	
б) Сучки разбросанные													
32	13-с-6	— 12 10 10 3 10 8 —	930									-13	
33	14-с-4	— — 10 10 10 10 — —	980									-20	
34	11-с-4	— — 10 10 10 10 — —	850									± 0	



Фиг. 17. Вид лонжеронов без сучков после испытания.

изводилось прибором Баушингера. Результаты испытаний на продольный изгиб показали уменьшение критической нагрузки на 5 и 8% с разрушением по сучкам. Вид лонжеронов после испытания представлен на фиг. 20.

Б. Коробчатое сечение.

1. Сжатие вдоль волокон.

Для сжатия вдоль волокон из лонжерона, изгото ленного согласно чертежу фиг. 21, вырезался трезек длиною 150 мм без диафрагм и бабышек.

Испытание произволовось на 200-тонном прессе завода Амслер со шкалою в 20 т. Скорость нагружения 400 кг/см² в минуту.

Пробки ставились из древесины клена.

Диаметры сучков допускались от 8 до 12 мм.

Результаты испытаний приведены в табл. 5.

Как видно из табл. 5, при сжатии вдоль волокон отрезков лонжеронов коробчатого сечения, ссыпанными сучками и поставленными вместо них пробками из древесины клена на казеиновом kleю, влияние сучков, расположенных во гну-

Таблица 5

№ по пор.	Образцы без сучков		Образцы с сучками			Изменение на- грузки $\frac{P'_{\max} - P_{\max}}{P_{\max}} \cdot 100$ %	
	Обозначение образцов	Разрушаю- щая нагрузка P_{\max} тонны	Обозначение образцов	Количество сучков	Разрушаю- щая нагрузка P_{\max} тонны		
37	13-б-к	20,00	13-с-к	4	17,80	- 11	
38	14-б-к	21,50	14-с-к	4	20,20	- 6	
39	11-б-к	18,95	11-с-к	4	18,10	- 4½	
40	15-б-к	19,20	15-с-к	4	18,60	- 3	
41	18-б-к	18,60	18-с-к	4	18,00	- 3	
42	17-б-к	19,40	17-с-к	4	20,00	+ 3	
43	10-б-к	19,20	10-с-к	4	20,00	+ 4	
44	12-б-к	17,4	12-с-к	4	18,60	+ 7	
45	16-б-к	21,00	16-с-к	4	22,00	+ 10	
46	19-б-к	20,05	19-с-к	2	17,85	- 11	
47	6-б-к	21,10	6-с-к	2	18,50	- 12½	
48	24-б-к	19,30	24-с-к	2	18,35	- 5	
49	23-б-к	18,07	23-с-к	2	17,25	- 4½	
50	22-б-к	18,5	22-с-к	2	17,80	- 4	
51	20-б-к	18,25	20-с-к	2	17,70	- 3	
52	21-б-к	18,45	21-с-к	2	18,08	- 2	
53	1-б-к	20,00	1-с-к	2	19,70	- 1½	
54	2-б-к	17,70	2-с-к	2	17,40	- 1½	
55	5-б-к	18,20	5-с-к	2	17,90	- 1½	
56	3-б-к	18,30	3-с-к	2	18,20	- ½	
57	4-б-к	19,50	4-с-к	2	19,70	+ 1	
58	8-б-к	7,80	8-с-к	2	18,10	+ 1½	
59	9-б-к	18,50	9-с-к	2	19,20	+ 4	
60	7-б-к	21,80	7-с-к	2	23,00	+ 5½	

тренних планках, не оказывается, и колебания в нагрузках, в образцах с сучками и без сучков, находятся в пределах неоднократности математического.

2. Поперечный статический изгиб.

Лонжероны для поперечного статического изгиба изготавливались согласно чертежу фиг. 21.

Испытание производилось на 200-тонном прессе со шкалой в 10 т.

Скорость нагружения 40 кг/см² в минуту. Измерение стрелы прогиба лонжерона производилось в 3 точках в середине длины образца и под ножами.

Установка испытаний на поперечный статический изгиб представлена на фиг. 22.

При испытании лонжеронов двутаврового сечения на поперечный статический изгиб оказалось, что сучки в первых наружных планках резко понижают разрушающую нагрузку, вследствие чего при испытании лонжеронов в кромчатого сечения на поперечный статический изгиб сучки в первых наружных планках, как правило, не допускались.

Сучки диаметром от 8 до 13 мм допускались лишь в 4 внутренних планках. Результаты испытаний приведены в табл. 6.

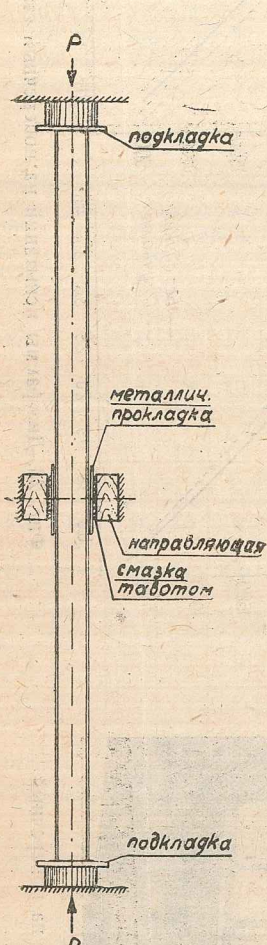
Результаты испытаний, помещенные в табл. 6 и 6а, показали, что сучки не оказывают влияния на разрушающую нагрузку.

Наиболее характерные диаграммы статического поперечного изгиба представлены на фиг. 23.

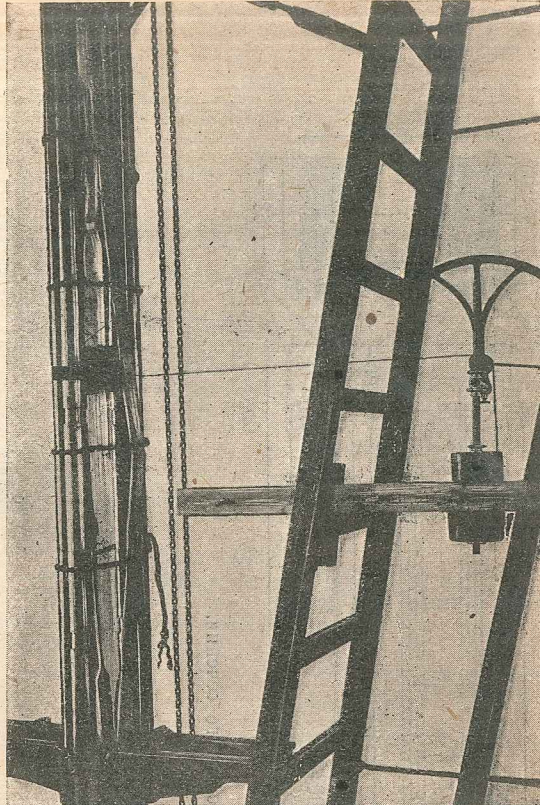
Ввиду того, что при сжатии волокон отрезков лонжеронов влияние сучков не наблюдалось и что при испытании лонжеронов на поперечный статический изгиб понижения разрушающей нагрузки от наличия сучков не замечалось, испытания на поперечный статический изгиб на этом и были закончены.

Вид наиболее характерных по разрушению образцов представлен на фиг. 24—26.

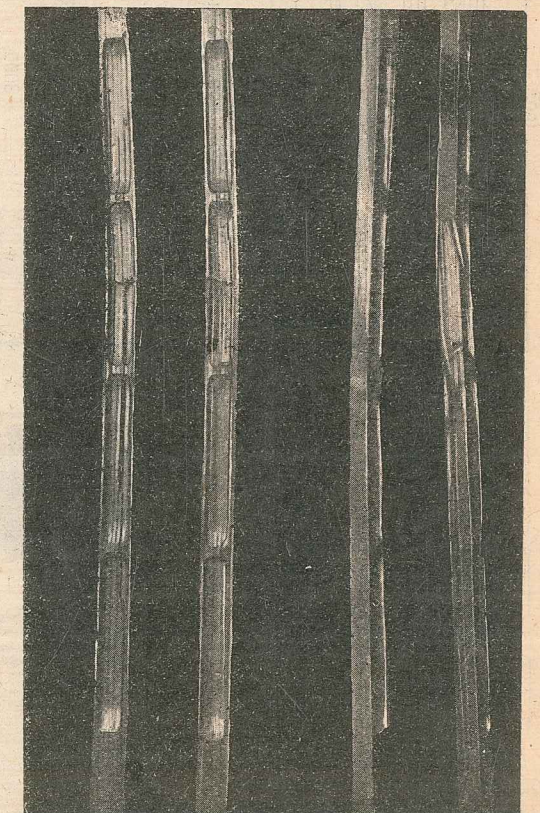
Лонжероны с сучками за № 61—70 соответствуют на фиг. 24—26 лонжеронам за № 1—10.



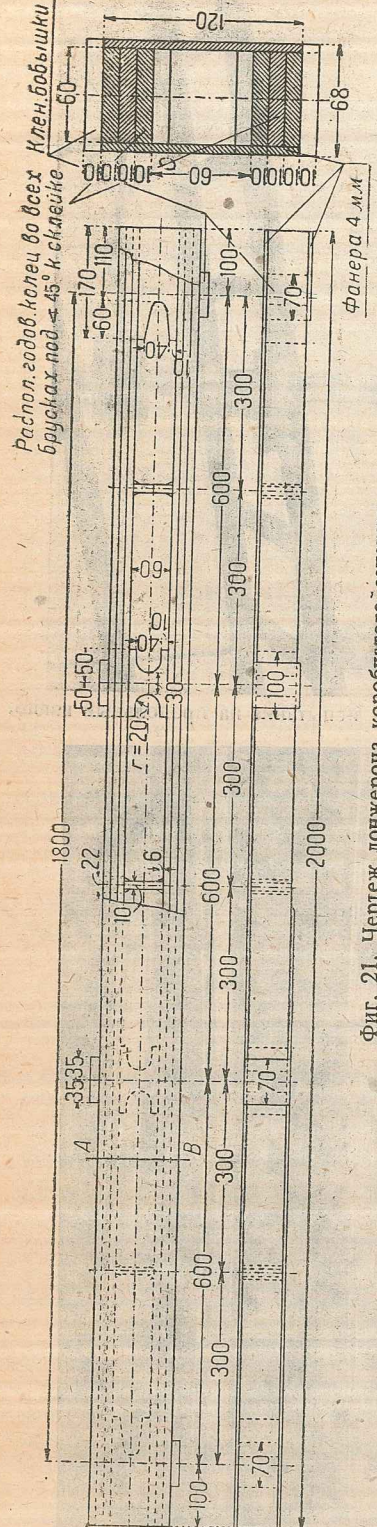
Фиг. 18. Схема испытания на продольный изгиб.



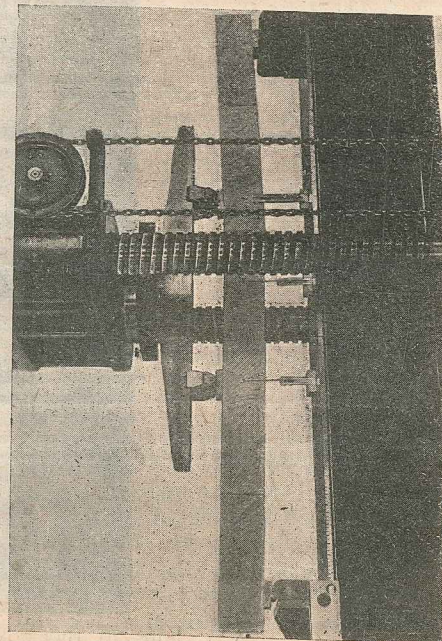
Фиг. 19. Установка для испытания на продольный изгиб.



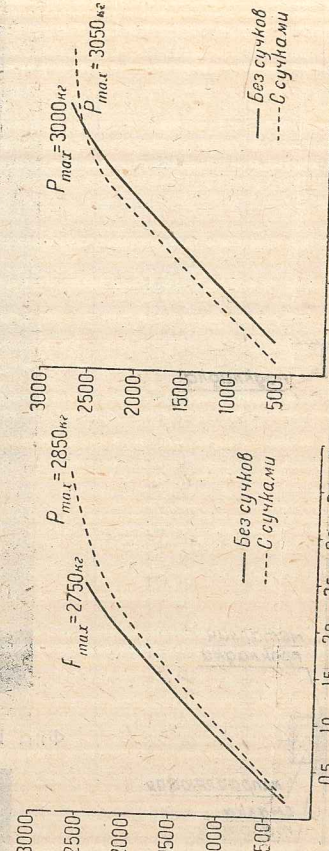
Фиг. 20. Вид лонжеронов после испытания на продольный изгиб.



Фиг. 21. Чертеж лонжерона коробчатого сечения.



Фиг. 22. Установка для испытания на поперечный статический изгиб.



Фиг. 23. Диаграммы испытаний на поперечный статический изгиб.

Таблица 6
Лонжероны без сучков

№ по пор.	Обозначение лонжеронов	Разрушающая нагрузка P_{max} кг	Характер разрушения					
63'	3-б-к-4	2600						
64'	4-б-к-4	2650	разрушение растянутого пояса под ножом					
65'	5-б-к-4	2900	разрушение сжатого пояса					
66'	6-б-к-4	2750	то же					
69'	9-б-к-4	3000	скальвание около нейтрального слоя					
			разрушение растянутого пояса					

Таблица 6а
Лонжероны с сучками

№ по пор.	Обозначение лонжеронов	Место расположения сучка в планке и диаметр в мм	Разрушающая нагрузка кг						Изменение нагрузки	Характер разрушения
			1	2	3	4	5	6		
61	1-с-к-4	—	11	10	12	13	—	2750	—	разрушение растянутого пояса под сучками
62	2-с-к-4	—	9	9	10	10	10	—	2500	—
63	3-с-к-4	—	9	10	12	12	12	—	2450	—
64	4-с-к-4	—	11	12	10	11	—	2480	— 6½	разрушение сжатого пояса в зоне сучков
65	5-с-к-4	—	10	10	9	10	—	3100	+ 7	разрушение растянутого пояса
66	6-с-к-4	—	9	10	8	9	—	2850	+ 3½	разрушение сжатого пояса
67	7-с-к-4	—	11	12	13	12	—	2550	—	то же
68	8-с-к-4	—	10	11	12	10	—	2850	—	то же
69	9-с-к-4	—	9	9	10	10	—	3050	+ 1½	первоначальное разрушение в растянутом слое под сучками
70	10-с-к-4	—	10	10	9	10	—	2800	—	оконч. разрушение растянутого пояса под ножом

Лонжероны без сучков за № 63'—66' и 69' соответствуют на фиг. 24—26 лонжеронам за № 36—66 и 96.

3. Продольный изгиб.

Для продольного изгиба лонжероны изготавливались согласно чертежу фиг. 27. Схема нагружения и установка испытаний приведены на фиг. 18 и 19. Испытания производились на 30-тонном прессе Амслера со шкалой в 20 т при скорости нагружения $400 \text{ кг}/\text{см}^2$ в минуту.

Сучки диаметром от 8 до 10 мм допускались только во внутренних планках. Сучки располагались на расстоянии 100—200 мм от середины длины образца.

Результаты испытаний приведены на табл. 7 и 7а.

Как видно из табл. 7 и 7а, при испытании лонжеронов коробчатого сечения длиной 1500 мм на продольный изгиб сучки не оказывают влияния на понижение критической нагрузки.

Измерение стадии прогиба прибором Баушингера произведено недостаточно точно, вследствие чего воспользоваться диаграммами не представляется возможным.

Вид лонжеронов с сучками после испытаний представлен на фиг. 28 и без сучков — на фиг. 29.

Выводы.

Полученные результаты испытаний kleеных лонжеронов двутаврового и коробчатого сечений из древесины ели с допущением сучков позволяют сделать следующие основные выводы.

Таблица 7
Лонжероны без сучков

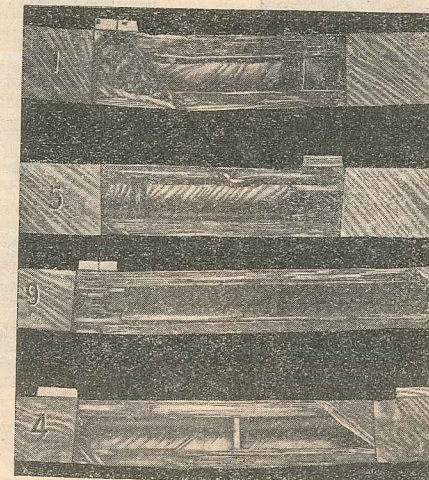
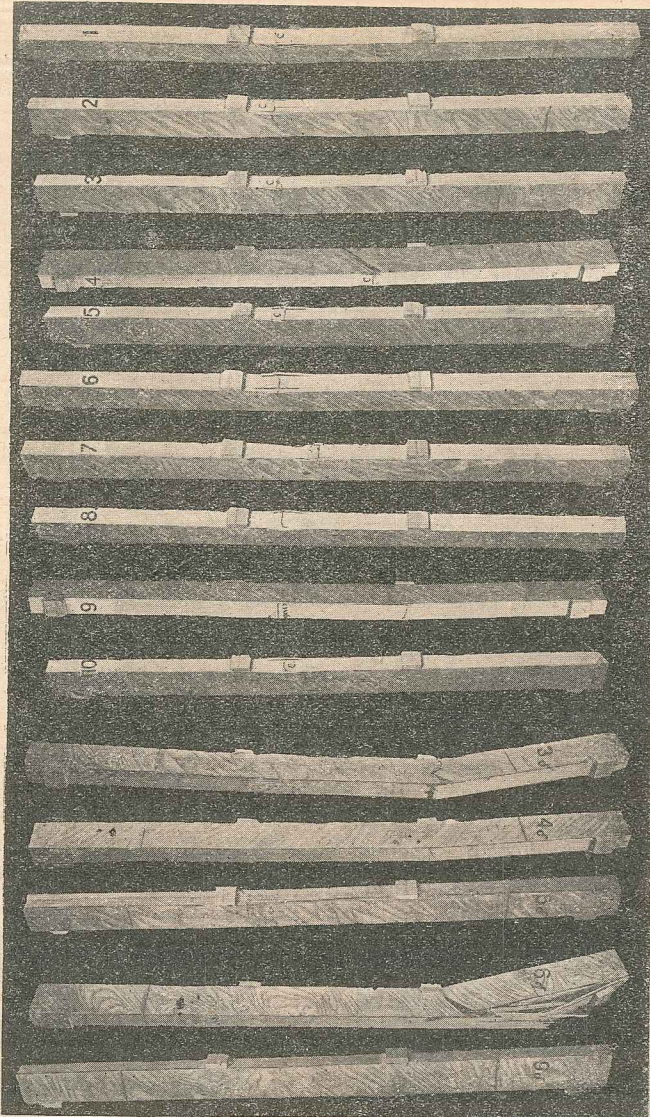
№ по пор.	Обозначение образцов	Критическая нагрузка P_{kp} тонны	Характер разрушения	
71'	1-П-б-к	17,4	складки около опор	
72'	2-П-б-к	18,5	складки около опор, прогиб одной полки	
73'	3-П-б-к	16,2	изгиб в плоскости наименьшей жесткости	
74'	4-П-б-к	16,8	складки около опор, разрушение в 270 мм от опор	
75'	5-П-б-к	15,5	появление складок около опор, дальнейшее разрушение в 43 мм от опор	
76'	6-П-б-к	18,6	складки около опор, изгиб в плоскости наименьшей жесткости	
77'	7-П-б-к	16,1	складки в середине длины образца и у опор	
78'	8-П-б-к	16,5	складки около опор, разрушение в месте промолки	

Таблица 7а
Лонжероны с сучками

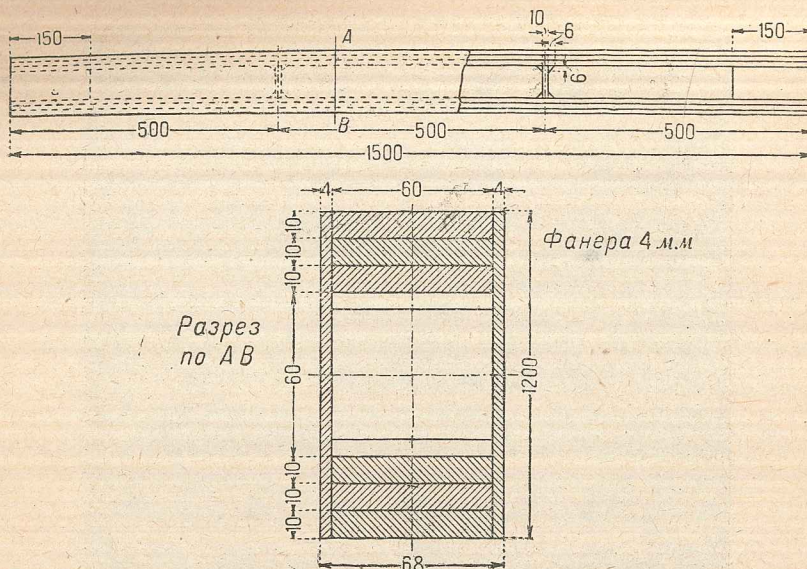
№ по пор.	Обозначение лонжеронов	Место расположения сучков в планках и их диаметры в мм	Критическая нагрузка P_{kp} кг	Изменение		Характер разрушения					
				2	3	4	5	$\frac{P'_{kp} - P_{kp}}{P_{kp}} \cdot 100$	\pm	%	
71	1-П-к-с	— 10 10 —	17,5	—	—	—	—	$-\frac{1}{2}$			появление складок около опор, прогиб в плоскости наибольшей жесткости, разрушение не по сучкам
72	2-П-к-с	— 10 10 —	18,2	—	—	—	—	$-\frac{1}{2}$			появление складок около средины длины лонжерона, прогиб в плоскость наименьшей жесткости, разрушение не по сучкам
73	3-П-к-с	— 10 10 —	15,4	—	—	$-\frac{1}{2}$					изгиб в плоскости наименьшей жесткости, разрушение в 240 мм от опоры, разрушение не по сучкам
74	4-П-к-с	— 10 10 —	17,7	—	—	$+\frac{1}{2}$					изгиб в плоскости наименьшей жесткости, разрушение в 220 мм от опоры, разрушение не по сучкам
75	5-П-к-с	8 10 10 9	17,2	—	—	$+1$					следы сжатия около опор, разрушение в 100 мм от средины длины лонжерона по сучкам
76	6-П-к-с	10 10 10 10	18,8	—	—	$+1$					разрушение по сучкам
77	7-П-к-с	8 10 10 9	16,2	—	—	$+\frac{1}{2}$					складки в средине и в 500 мм от средины длины лонжерона
78	8-П-к-с	10 10 10 10	16,6	—	—	$+\frac{1}{2}$					складки около опор, разрушение не по сучкам

А. Лонжероны двутаврового сечения.

1. При сжатии вдоль волокон отрезков лонжеронов длиною в 150 мм наличие сучков диаметром до 15 мм уменьшает разрушающую нагрузку от $6\frac{1}{2}\%$ до 43% в зависимости от количества сучков.



Фиг. 24-26. Вид лонжеронов после испытания на поперечный статический изгиб.



Фиг. 27. Чертеж лонжерона коробчатого сечения для испытания на продольный изгиб.

2. При статическом поперечном изгибе лонжеронов длиною в 2 400 м.м наличие сучков диаметром до 15 м.м понижает разрушающую нагрузку до 20% в зависимости от расположения сучков по высоте лонжерона.

3. При продольном изгибе лонжеронов длиною в 2 400 м.м разрушение происходит по сучкам с понижением разрушающей нагрузки до 8%.

Понижение разрушающей нагрузки в лонжеронах двутаврового сечения может быть отнесено за счет формы сечения лонжерона; так как сучки диаметром от 8 до 12 м.м, расположенные в стенке (толщиною 13 м.м) сечения лонжерона, прохо-

дили почти через все сечение (12×13 м.м) отдельной плашки лонже она и тем самым в сильной степени ослабляли сечение, то поэтому указанное двутавровое сечение лонжерона при применении древесины с сучками необходимо считать неудачным.

Б. Лонжероны коробчатого сечения.

При расположении сучков во внутренних планках лонжерона (в наружных сучки не допускались) такие не оказывают влияния на понижение разрушающей нагрузки при следующих видах механической нагрузки:

- а) сжатие вдоль волокон,
- б) поперечный статический изгиб,
- в) продольный статический изгиб.

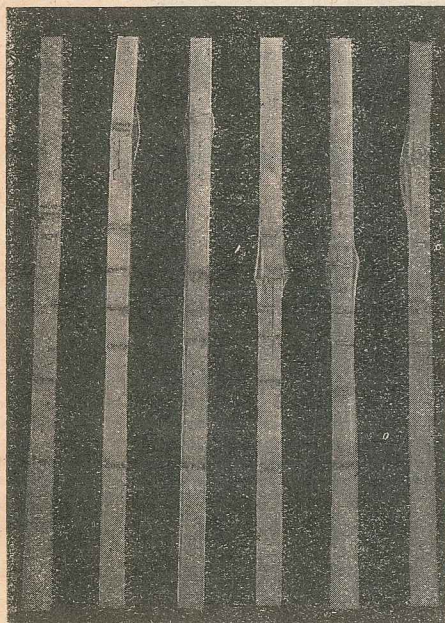
Имеющиеся колебания в результатах испытаний могут быть отнесены за счет неоднородности материала.

Заключение.

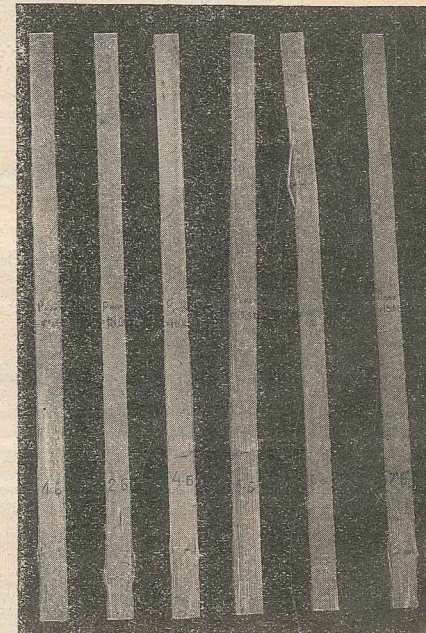
В склеенных из древесины ели лонжеронах двутаврового сечения сучки понижают разрушающую нагрузку, а потому древесина ели с сучками и не может быть допущена.

Совсем иначе обстоит дело со склеенными из древесины ели лонжеронами коробчатого сечения, где наличие сучков (во внутренних планках) не уменьшает разрушающей нагрузки, если имеет место:

- а) горизонтальная склейка планок,
- б) направление годовых слоев под углом в 45° к плоскости склейки,
- в) крепость склейки на скальвание выше крепости древесины,
- г) тщательно высверленные сучки и вставленные (вплотную) на их место пробки из древесины твердых пород (белый бук, клен и др.) на казеиновом клее.



Фиг. 28. Вид лонжеронов с сучками после испытания на продольный изгиб.



Фиг. 29. Вид лонжеронов без сучков после испытания на продольный изгиб.

A. Spars of I cross-section.

1. At compression parallel to grains of spar-type samples with the length of 150 mm — the presence of knots with the diameter of 15 mm decreases the maximum breaking load from 10 to 43% according to the number of knots.
2. At statical cross-bending of spars of 2400 mm the presence of knots of the diameter of 15 mm decreases the breaking load up to 20% according to the position of knots as taken to the height of the spar.
3. At lateral bending of spars of the length of 2400 mm the breaks appear at the places of situation of knots with the decrease of maximum breaking load up to 8%.

The decrease of the breaking load of I-spars can be accounted for by the form of cross-section of the spars, as the knots with the diameter of 8—12 mm situated in the web (thickness of which is 13 mm), passed almost through the whole of the section (12×18 mm) of each separate lamination of the spar and thus weakened the section to a great extent.

Therefore the above mentioned I cross-section of the spar must be considered as unacceptable when using the knotty wood.

B. Spars of Box cross-section.

The presence of knots in the inside laminations of the spar (there were none in the outside laminations) bears no influence on the breaking load at the following loads:

- a) compression parallel to grain,
- b) statical cross-bending,
- c) statical lateral bending.

Variations in the results of tests may be taken as consequent to the non-homogeneity of materials.

Summary.

- A. In the glued spruce spars of I cross-section the breaking load is decreased due to the presence of knots.
- B. In the glued spruce spars of Box cross-section having:
 - a) horizontal glueing of laminations,
 - b) directions of annual rings at the angle of 45° to the plane of glueing,
 - c) the shearing of glued joint being above that of the wood,
 - d) carefully drilled out knots substituted by hard-wood plugs (maple, ash etc.) on casein glue, the presence of knots in the inside laminations does not diminish the breaking load.

ОГЛАВЛЕНИЕ

	Стр.
Введение	3
I. Древесина	6
II. Клей	10
III. Изготовление лонжеронов	11
IV. Механические испытания	11
V. Результаты механических испытаний kleenых лонжеронов	11
Выводы	23
Заключение	27
Abstract	28

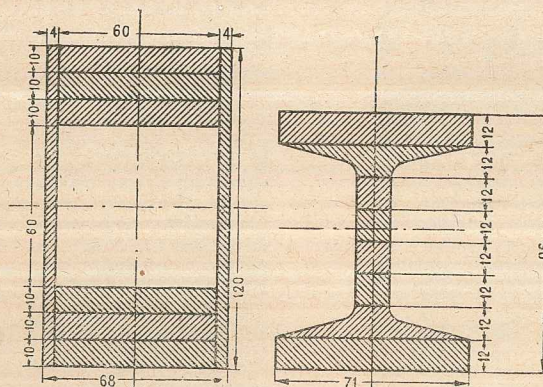


Fig. 30. Section of spars.

¹ N. N. Bourakov. Influence of knots on mechanical properties of pine and spruce. Transactions of the Central Aero-Hydrodynamical Institute, № 60.

Т Р У Д Ы

Центрального Аэро-гидродинамического института, вышедшие из печати в 1930—1932 гг.
(Москва, ул. Радио, 17)

49. В. П. Горский и А. Н. Журавченко. Аэrodинамические исследования по оперению самолетов. 1930.
50. П. А. Вальтер. Основания гидродинамической теории камер, подводящих воду к турбине. Ч. II. 1930.
51. Б. Я. Кузнецов. Лобовое сопротивление мотоцикла. 1929.
52. В. Т. Бовин и Л. И. Пашевский. Результаты опытов по изучению условий подхода к шлюзу в нижнем бьефе Днепровской гидроэлектростанции. 1930.
53. В. Т. Бовин и Л. И. Пашевский. Исследование условий, влияющих на режим потока в области низового потока к шлюзу Днепровской гидроэлектростанции. 1930.
54. В. Т. Бовин. Гидравлическая лаборатория. 1930.
55. Ф. Г. Гласс. Индукция трубы. Экспериментальное исследование 1930.
56. Г. Г. Кульман. Аэrodинамическое сопротивление лошади. 1930.
57. В. М. Келлер. О методах подсчета энергии ветра и ее использовании. 1930.
58. П. П. Красильщиков. Влияние шайб на аэrodинамические характеристики крыла. 1930.
59. Г. В. Акимов. Исследование холоднокатаной стали. V 2A. 1930.
60. Н. Н. Бураков. Влияние сучков на механические свойства древесины сосны и ели. 1930.
61. И. Ф. Андреев. Исследование аэропланных тканей, покрытых аэrolаком. 1930.
62. Е. И. Савков. Исследование физико-механических свойств древесины сосны. 1930.
63. К. К. Федяевский. Влияние градиента статического давления на увеличение лобового сопротивления. 1930.
64. В. П. Ветчинкин. Астрономические аэронавигационные приборы системы В. П. Ветчинкина и А. П. Волохова. 1931.
65. П. П. Красильщиков. О точности аэrodинамических испытаний. 1931.
66. Н. А. Соколов. Вибрация сжатых и растянутых стержней. 1931.
67. А. К. Мартынов. Лобовое сопротивление фюзеляжа. Сравнительные испытания фюзеляжа и его моделей. 1931.
68. П. А. Вальтер. Основания гидродинамической теории камер, подводящих воду к турбине. Ч. III. 1931.
69. Н. Н. Бураков. Зависимость крепости клеевого соединения от смолистости сосны. 1931.
70. Г. В. Акимов. Коррозия легких алюминиевых сплавов в контакте с другими металлами.

Т Р У Д Ы

Центрального Аэро-гидродинамического института, вышедшие из печати в 1930—1932 гг.
(Москва, ул. Радио, 17)

71. Е. Ф. Бахметев. Структурные изменения дуралюмина в зависимости от деформирования растяжением. 1931.
72. В. О. Крениг. Коррозия дуралюмина в зависимости от его химического состава. 1931.
73. Н. Н. Чулицкий. Исследование физико-механических свойств древесины сосны. II. 1931.
74. В. П. Ветчинкин. Маятниковые динамометры для измерения средних величин переменных нагрузок. 1931.
75. В. П. Ветчинкин и Н. Б. Зволинский. 1. Критическая угловая скорость растянутого вала. 2. Способы определения усилий в тросах и канатах. 1931.
76. Я. И. Секерж-Зенькович и В. П. Ветчинкин. 1. К расчету на устройство листа фанеры как анизотропной пластиинки. 2. Об устойчивости цилиндрических пластинок при изгибе. 1931.
77. Н. Ф. Бочаров. Техника склеивания дерева казеиновыми kleями.
78. А. Н. Флаксерман. Влияние наклона волокон на механические свойства древесины сосны.
79. Г. А. Сафонов и А. Н. Флаксерман. Исследование физико-механических свойств древесины ясения, боязни и клена. I. 1931.
80. И. Г. Шульгин. Исследование алюминиевых труб. 1931.
81. И. Г. Шульгин. Исследование дуралюминиевых заклепок. 1931.
82. И. Ф. Андреев. Ацетиленовые лаки (их получение и свойства). 1931.
83. И. Г. Шульгин. Исследование дуралюминиевой проволоки. 1931.
84. А. И. Некрасов. Диффузия вихря. 1931.
85. И. А. Резунов. Влияние надстроек на верхней поверхности крыла на его аэrodинамические характеристики. 1931.
86. Б. Н. Егоров и В. А. Кузнецов. I. Исследование работ винтов тандем в присутствии крыла. II. Приложение вихревой теории к расчету заднего винта комбинации тандем. Б. Н. Егоров. Сравнительные испытания винта в разных труbach. 1931.
87. Е. С. Тихонов. Исследование минеральных красок и лаков, применяемых в металлическом авиастроении. 1931.
88. И. И. Сидорин и И. Ф. Голубев. О смолистости сосны и ели и о количественном определении смолы в древесине хвойных. 1931.
89. Г. В. Акимов. Газовая коррозия углеродистых сталей при высоких температурах. 1931.
90. В. О. Крениг. Коррозия литых алюминиевых сплавов, ч. I. 1931.
91. Сочинения Н. Е. Жуковского. Т. II, вып. I.

ТРУДЫ

Центрального Аэро-гидродинамического института, вышедшие
из печати в 1930—1932 гг.
(Москва, ул. Радио, 17)

93. А. В. Раковский. Методы склеивания фанеры сухим горячим способом. Г. А. Сафонов. Исследование многослойной береговой фанеры. 1931.
94. А. Н. Журавченко и А. И. Никитюк. О мере статической предельной устойчивости самолета. А. И. Никитюк. К расчету моментов инерции самолетов. 1931.
95. Сочинения Н. Е. Жуковского. Т. II, вып. 4. 1931.
96. В. О. Крениг. Влияние железа на свойства дуралюмина. 1931.
97. Б. Я. Кузнецов. Лобовое сопротивление тросов, проволок, тандеров и авиационных лент. 1931.
98. Б. Я. Кузнецов. Аэrodинамические исследования цилиндров. 1931.
99. Атлас профилей. 1931.
100. Н. В. Лебедев. Экспериментальное исследование с моделями парашютов. 1931.
101. Н. В. Лебедев. Экспериментальное исследование с моделями дирижаблей. 1931.
102. Г. В. Акимов и В. О. Крениг. Защита алюминиевых сплавов от коррозии. 1931.
103. Сборник аэrodинамических исследований. 1932.
104. Г. Х. Сабинин. Теория и аэrodинамический расчет ветряных двигателей. 1932.
105. И. С. А. Чаплыгин и Н. С. Аржаников. К теории открылка и закрылка. И. П. П. Красильщиков. Исследования по разрезным крыльям с закрылком. 1932.
107. Е. И. Савков и Г. В. Мухин. Исследование модуля упругости древесины сосны. 1931.
108. В. В. Голубев. Теория крыла аэроплана конечного размаха. 1932.
109. Е. Ф. Бахметев. Холоднокатаный дуралюминий. 1932.
110. Е. Ф. Бахметев. Рентгеноанализ штамповок из легких алюминиевых сплавов. 1932.
111. П. А. Вальтер. Об устойчивости вихревого движения в диффузоре Каплана. 1931.
114. И. Р. Шульгин. Исследование упругой и пластической деформации луралюминиевых листов при загибе. 1932.
119. С. А. Ноздровский. Термобарокамера. 1932.
122. Н. Н. Чулицкий. Исследование водопроницаемости и водопоглощаемости древесины различных пород. 1932.
127. А. И. Изаксон и Д. И. Антонов. Работа воздушных винтов с элеронами на режиме авторотации. 1932.

USSR

PEOPLE'S COMMISSARIAT OF HEAVY INDUSTRY
THE MAIN BOARD OF AIRCRAFT INDUSTRY

Transaction of the Central Aero-Hydrodynamical Institute

No 138

TESTS OF SPAR-TYPE SAMPLES OF SPRUCE

by

N. N. Bourakov

MOSCOW — 1932